

KONFERENCIE • SYMPÓZIA • SEMINÁRE



Štátny geologický ústav Dionýza Štúra
Oddelenie geochemie životného prostredia



Univerzita Komenského v Bratislave
Prírodovedecká fakulta
Katedra geochemie



Slovenská asociácia geochemikov

GEOCHÉMIA

Zborník vedeckých príspevkov z konferencie

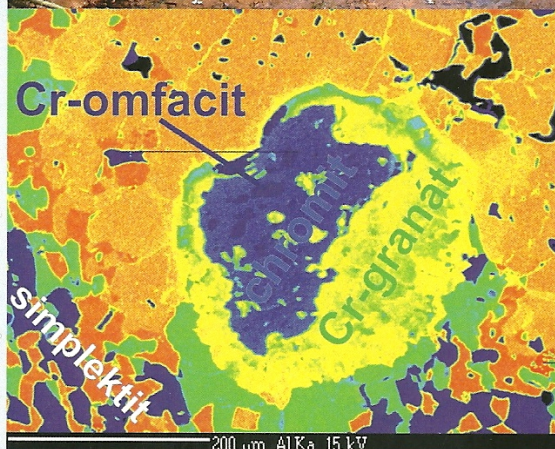
Bratislava

2. – 3. december 2015

Editori:

Ľubomír Jurkovič, Igor Slaninka a Ondrej Ďurža

Štátny geologický ústav Dionýza Štúra Bratislava 2015



2015



Čestné predsedníctvo

RNDr. Vlasta Jánová, PhD. (MŽP SR)

Ing. Branislav Žec, CSc. (ŠGÚDŠ)

doc. RNDr. Milan Trizna, PhD. (PriF UK)

Odborní garanti

RNDr. Dušan Bodíš, CSc. (ŠGÚDŠ Bratislava)

Doc. RNDr. Ján Čurlík, DrSc. (PRIF UK Bratislava)

Prof. RNDr. Martin Mihaljevič, CSc. (PŘIF UK Praha)

Recenzenti

Doc. RNDr. Edgar Hiller, PhD.

Doc. RNDr. Peter Ivan, CSc.

Doc. RNDr. Peter Koděra, PhD.

Doc. RNDr. Ján Milička, CSc.

RNDr. Jozef Kordík, PhD.

RNDr. Igor Slaninka, PhD.

RNDr. Ľubomír Jurkovič, PhD.

Mgr. Peter Šottník, PhD

Mgr. Bronislava Voleková, PhD.

Organizačný výbor

RNDr. Igor Slaninka, PhD. (ŠGÚDŠ)

RNDr. Jozef Kordík, PhD. (ŠGÚDŠ)

doc. RNDr. Ondrej Ďurža, CSc. (PriF UK)

RNDr. Ľubomír Jurkovič, PhD. (PriF UK)

Mgr. Peter Šottník, PhD. (PriF UK)

Mgr. Lucia Lachká (PriF UK)

Mgr. Simona Škultétyová (PriF UK)

Obsah

Vstupovanie toxicických prvkov do rastlín na vybraných Cu-ložiskách Európy	
Peter Andráš, Ingrid Turisová, Jana Dadová, Giuseppe Bucccheri.....	6
Postupy aplikovania chemických geotermometrov	
Veronika Blanárová, Marián Fendek.....	8
Bioakumulácia medi mikroskopickou riasou <i>Chlorella vulgaris</i>	
Katarína Boriová, Søren Laurentius Nielsen.....	11
Typológia granitov vs. typomorfizmus akcesorických minerálov	
Igor Broska, Igor Petrik, Pavel Uher.....	14
Chemické zloženie podzemných/pitných vód a úmrtnosť na onkologické ochorenia v Slovenskej republike	
Veronika Cvečková, Katarína Fajčíková, Beáta Stehlíková, Stanislav Rapant.....	16
Pomery obsahov Ca/Mg v pôde a v rastlinách a ich interpretácia	
Ján Čurlík.....	21
Mineralogický, chemický a štruktúrny výskum odpadového troskového materiálu na vybraných lokalitách Slovenska	
Rastislav Demko, Peter Šefčík, Jarmila Luptáková.....	24
Pokročilé prístupy bioremediacie: biostimulácia a bioaugmentácia PCB	
Katarína Dercová, Juraj Škarba, Hana Dudášová, Katarína Lászlová, Hana Horváthová.....	28
Hodnotenie akumulácie jódu jačmeňom siatym (<i>Hordeum vulgare L.</i>) z rôznych rastových substrátov využitím metód analytickej geochemie	
Eva Duborská, Marek Bujdoš, Martin Urík, Jana Kubová.....	31
Štúdium mobilizácie kontaminantov v technozemiach použitím pôdnych lyzimetrov	
Tomáš Faragó, Lubomír Jurkovič, Katarína Pečková, Edgar Hiller, Lucia Lachká Peter Sekula, Monika Ušiaková.....	35
Update on previous multicomponent geothermometry results and implications for the Bešeňová elevation hydrogeothermal structure applying trmed and chloride correction approach	
Branislav Fricovský, Ladislav Tometz, Marián Fendek.....	38
Vplyv mikroorganizmov na znížovanie obsahov vybraných liečiv a drog v odpadových vodách	
Terézia Gašparcová, Slavomír Černanský, Tomáš Mackuľák, Tomáš Grivalský, Roman Grabcík, Alexandra Šimonovičová.....	42
Izotopové zloženie vód v systéme Krásnohorskej jaskyne	
Barbora Gavuliaková, Renáta Fláková, Dagmar Haviarová, Zlatica Ženíšová, Zuzana Grolmusová, Juraj Michalko.....	46
Prvé výsledky z monitoringu environmentálnej záťaže a konsekvencie pre koncepčný model lokality Lubina - skladka KO Palčekove	
Jana Gumáňová, Branislav Fricovský.....	48
Biotenzidy a ich využitie pri remediacii kontaminovaných environmentálnych materiálov	
Ingrid Hagarová.....	52
Vybrané vlastnosti tuhých častic v atmosférickej depozícii v oblasti Košíc	
Jozef Hančuľák, Erika Fedorová, Ol'ga Šestinová, Lenka Findoráková, Tomislav Špaldon.....	56
Degradácia PCB bakteriálnymi konzorciami izolovanými zo sedimentov Strážskeho kanála	
Hana Horváthová, Katarína Lászlová, Katarína Dercová.....	60
Možnosti praktickej aplikace terénní elektrogeochémie	
Jaroslav Hrabal, Dagmar Bartošová.....	62
Poznámka k oxidom železa v tzv. albánskom lúženci z bývalej Niklovej hutí v Seredi	
Slavomír Hredzák, Marek Matík, Anton Zubrik, Katarína Štefušová, Miroslava Václavíková.....	66
Magneticke kompozity na báze prírodných tektosilikátov ako potenciálne adsorbenty environmentálnych polutantov	
Eva Chmielewská, Juraj Majzlan, Mária Nováková.....	70
Limitovaná migrácia chrómu pri nízkostupňovej metamorfóze hornín na príklade asociácie chromitu a silikátov s chrómom v triasových metakvarcitoch Tríbeča	
Peter Ivan, Ján Jahn, Tomáš Lánczos.....	74
Skúmanie príbuznosti kľátovskej skupiny gemenika a leptyno-amfibolitového komplexu severného veporika na základe porovnania geochemických parametrov typových metamorfitov	
Peter Ivan, Mária Šimurková.....	78
Štúdium bioprecipitácie sorbentov kovov pomocou síran-redukujúcich baktérií	
Jana Jenčárová, Alena Luptáková.....	82
Stručný prehľad najvýznamnejších problémov analýzy veľkosti častic	
Karol Jesenák, Alexandra Šimonovičová.....	84
Biovolatilizácia As a Sb z banských odpadov z lokality Poproč	
Jana Juhásová, Slavomír Černanský, Dominika Kučerová, Alexandra Šimonovičová, Lubomír Jurkovič.....	87
Hydrotermálne premeny Au-porfyrívových systémov v stredoslovenských neovulkanitoch a ich vzťah k vývoju asociujúcich paleofluid	
Peter Kodéra, Jaroslav Lexa, Michal Jánošík, Jana Brčeková, Adrián Biroň, Markus Wölle, Anthony E. Fallick, Jaroslav Kozák, Juraj Žitňan.....	89

Konferencie, sympózia, semináre – Geochémia 2015

Geochémia granitických hornín z pohoria Žiar	
Milan Kohút.....	93
Geochemie vrstevních fluid miocenních sedimentů karpatské předhlubně - středomoravský blok	
Lukáš Kopal, Lukáš Kudlička, Ján Milička.....	97
Distribúcia a zloženie zlata v Au-porfýrových systémoch v stredoslovenských neovulkanitoch	
Jaroslav Kozák, Peter Kodéra, Martin Chovan, Jana Brčeková, Jaroslav Lexa, František Bakos, Juraj Žitňan.....	100
Predbežné výsledky štúdia genézy epitermálnej Au mineralizácie vo východnej časti bane Rozália (Hodruša - Hámre)	
Alexander Kubač, Peter Kodéra, Martin Chovan, Peter Žitňan, Anthony E. Fallick.....	104
Hydrogeochemie neogénu Vídeňské pánve	
Lukáš Kudlička, Ján Milička, Lukáš Kopal.....	108
Využití nanomateriálu na bázi nulamocného železa při in-situ sanacích podzemních vod	
Petr Lacina, Vojtěch Dvořák, Eva Vodičková.....	112
Aplikácia zjednodušeného extrakčného testu s glycínom v hodnotení biopristupnosti potenciálne toxickej prvkov v mestských pôdach Bratislavu	
Lucia Lachká, Edgar Hiller, Tatsiana Kulikova.....	116
The role of colloids on As and Sb mobility in mine drainage	
Bronislava Lalinská-Voleková, Anežka Borčinová-Radková, Heather Jamieson, Elizabeth Phillips, Peter Šotník, Lubomír Jurkovič.....	118
Využitie (bio)surfaktantov v biodegradácii polychlórovaných bifenylów	
Katarína Lászlová, Hana Horváthová, Katarína Dercová.....	120
Prieskum environmentálnej záťaže na lokalite Vrakuňa – skládka CHZJD	
Andrej Machlica, Ján Chovanec, Tomáš Binčík.....	122
Geochémia pre ekológiu: príklady využitia analýzy sedimentov pre rekonštrukciu zmien jazerných ekosystémov	
Agáta Marzecová, Annika Mikomägi, Galina Kapanen.....	126
Distribúcia špecií a frakcií tália v banských vodách (Šobov, Kolársky vrch)	
Peter Matúš.....	130
Prvý nález chrómového omfacitu v kryštaliniku Západných Karpát (retrográdne eklogity, severné vaporikum)	
Štefan Méres, Peter Ivan.....	133
Bór ako indikátor šírenia sa znečistenia zo skládok a odkališk	
Slavomír Mikita, Jan Bartoň.....	136
Nízkopriepustné ložiská v sedimentárnej výplni východoslovenskej neogéennej panvy	
Ján Milička, Lukáš Kopal, Róbert Polc, Lukáš Kudlička.....	140
Vplyv banských vôd z Rudných baní Pezinok po aplikácii dvoch kmeňov vláknitých mikroskopických hub <i>Aspergillus niger</i> na rast, tvorbu biomasy a akumuláciu vybraných kovov v semenáčikoch <i>Sinapis alba</i> L.	
Marianna Molnárová, Alexandra Šimonovičová, Agáta Fargašová, Matúš Peško, Lubomír Jurkovič.....	142
Geochémia a fázové zloženie popolčeka zo spaľovne kalov	
Róbert Polc, Bronislava Lalinská-Voleková, Katarína Petková, Lubomír Jurkovič	144
Využitie stabilných izotopov uhlíka a vodíka pri monitorovaní pohybu uhl'ovodíkov v zásobníkoch plynu	
Pavol Poleshák, Rastislav Milovský.....	147
Geochémia podzemných vôd hlboko uložených kolektorov nesvačilskej priekopy (východné svahy Českého masívu)	
Jana Rigová.....	150
Nanočasticie v životnom prostredí	
Martin Šebesta.....	
Migrácia a akumulácia kontaminantov v pôdach na vybraných lokalitách Slovenska	
Peter Šefčík, Rastislav Demko.....	154
Mikrobiologická charakteristika opusteného antimónového ložiska na lokalite Poproč	
Alexandra Šimonovičová, Slavomír Čerňanský, Katarína Petková.....	158
Rozbor chemického zloženia pôd a úmrtnost' na kardiovaskulárne ochorenia obyvateľov na Slovensku	
Simona Škultétyová, Stanislav Rapant.....	160
Voda v perlite – termická analýza	
Peter Uhlík, Peter Varga, Helena Pálková, Jaroslav Lexa.....	163
Biologicky uľačená extrakcia rizikových prvkov z tuhých minerálnych a amorfín fáz	
Martin Urik, Barbora Milová-Žiaková, Marek Bujdoš, Katarína Boriová, Eva Duborská, Peter Šotník, Peter Matúš.....	166
Základná geochemická charakteristika perlítov z ložiska Jastrabá a Lehôtka pod Brehmi	
Peter Varga, Jaroslav Lexa, Peter Uhlík.....	168
Mineralogia a geochémia žilných hornín Malej Fatry	
Lucia Vetráková, Ján Spišiak.....	171
Metal extractions from soil amended with nano zero-valent iron	
Martina Vitková, Eva Dragounová, Sylva Číhalová, Václav Tejnecký, Michael Komárek.....	175

MINERALÓGIA A GEOCHÉMIA ŽILNÝCH HORNÍN MALEJ FATRY

Lucia Vetráková, Ján Spišiak

Fakulta prírodných vied, Univerzita Mateja Bela v Banskej Bystrici
Tajovského 40, 974 01 Banská Bystrica, lucia.vetrakova@umb.sk, jan.spišiak@umb.sk

ÚVOD

Lamprofýry sú dajkové horniny, ktoré sú minerálnym zložením, štruktúrou a do určitej miery aj chemickým zložením odlišné od intruzívnych a efuzívnych hornín. Termín lamprofýr do literatúry zaviedol GÜMBEL (1879 in HOVORKA 1967), ktorý takto označoval žilné horniny tmavej farby a variabilného minerálneho zloženia. V kryštaliniku Malej Fatry sú žilné horniny bázickej povahy pomerne hojné.

METODIKA

Zo vzoriek boli vyhotovené normálne a leštené výbrusy. Výbrusy boli študované pod mikroskopom NIKON ECLIPSE LV 100 POL. Minerálne fázy sa analyzovali na elektrónovom mikroanalizátore Cameca SX-100 (ŠGÚDŠ Bratislava), použité bolo urýchľovacie napätie 15 kV, merací prúd 20 nA a šírka lúča ϕ 1 -5 μm.

GEOLOGICKÁ POZÍCIA

Prvýkrát opísali bázické žilné horniny z Malej Fatry IVANOV a KAMENICKÝ (1957), ktorí ich označili ako cuzelity s niektorými znakmi kersantitov a odinitov. HOVORKA (1967) tieto horniny označil ako monzonitické lamprofýry. Bázické lamprofýrové horniny vystupujú v prostredí granitoidných hornín. Vzhľadom na relatívne silné tektonické ovplyvnenie niektorých žil lamprofýrov Malej Fatry predpokladali IVANOV a KAMENICKÝ (1957) ich predalpínsky vek. Horniny sme študovali z dvoch lokalít:

1. Výchozy dajok pri údolnej stanici lanovky na Martinske hole, nedaleko kóty Kalužná ($N 49^{\circ} 5' 49''$, $E 18^{\circ} 50' 28''$)

2. Dajky v granitovom lome Dubná skala ($N 49^{\circ} 8' 25''$, $E 18^{\circ} 52' 43''$)

V obidvoch prípadoch dajky vystupujú v granitoidných horninách kryštalinika Západných Karpát. Žily bázických lamprofýrov boli zistené ajv novej prieskumnej štôlni pre diaľničný tunel Višňové.

MINERALÓGIA

Lamprofýrové horniny z Malej Fatry sú svetlozelenej, šedozelenej až tmavošedej farby

amajú prevažne porfyrickú štruktúru (rovnomerne zrnité typy sú zriedkavejšie). U porfyrických typov výrastlice tvoria hlavne svetlé (plagioklas, kremeň), menej tmavé (pyroxén, biotit, ojedinele aj amfibol) minerály. Najmä pyroxény a plagioklasy tvoria až niekoľko cm veľké idiomorfne obmedzené výrastlice. Miestami pozorovať aj nepravidelné, do 6 cm veľké xenolity okolných granitoidných hornín. Pre horniny je charakteristická silná alterácia primárnych minerálov. Na lokalite Kalužná sú klinopyroxény, ale často aj amfiboly abiotity, takmer úplne alterované. Na lokalite Dubná skala sa klinopyroxény zachovali ako porfyrické výrastlice v základnej hmote (obr. 1), resp. zriedkavejšie ako xenokrysty (obr. 2).

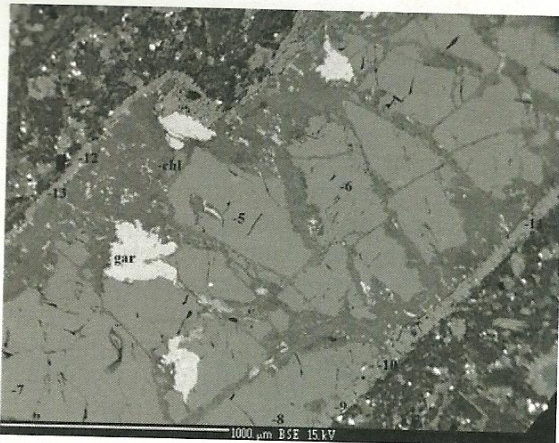


Obr. 1 Výrastlica klinopyroxénu (odrazené elektróny) elektrónový mikroanalizátor, lokalita: Dubná Skala

Pre porfyrické výrastlice klinopyroxénov je typická zonálnosť, charakteristická jepresýpatková štruktúra pričom pyramidálny sektor je oproti prizmatickému sektoru obohatený o SiO_2 , MgO , ochudobnený o TiO_2 , Al_2O_3 , Na_2O . Xenokrysty klinopyroxénov sú chloritizované a čiastočne premenené na zmes chloritu a hydratovaného grossoulár-andraditového granátu anásledne lemované novotvoreným klinopyroxénom (obr. 2).

Klinopyroxény xenokrystov oproti klinopyroxénom porfyrických výrastlíc, majú zvýšené obsahy Al_2O_3 a Na_2O , resp. znížené obsahy MgO a CaO (tab. 1). Novotvorený lem okolo xenokrystov má zloženie podobné porfyrickým výrastliciam (prizmatický sektor). Na základe klasifikácie pyroxénov IMA (Morimoto et

al., 1988), odpovedajú študované Cpx augitom adiopsidom (obr. 3). Primárne amfiboly podľa klasifikácie Hawthorne et al., (2012) zaraďujeme ku kersutitom (obr. 4, tab. 2).



Obr. 2 Xenokryšt klinopyroxénu (odrazené elektróny) elektrónový mikroanalyzátor, lokalita: Dubná Skala

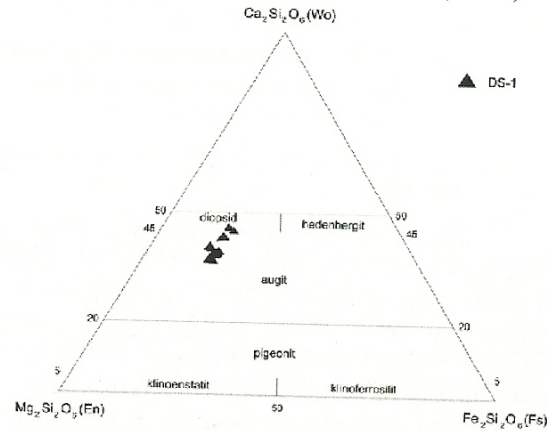
Amfiboly sú často alterované aktinolitom a biotitom. Biotit je podobne ako amfibol silne chloritizovaný. Je preň charakteristický vysoký obsah TiO_2 , čo dokumentuje jeho magmatický pôvod (tab. 2).

číslo analýzy	bt1	bt2	bt3	číslo analýzy	amf1	amf2	amf3
SiO_2	34,48	34,54	34,54	SiO_2	39,63	40,47	39,61
TiO_2	3,49	5,39	5,79	TiO_2	5,45	4,33	5,10
Al_2O_3	15,84	14,33	14,35	Al_2O_3	11,23	10,41	11,22
Cr_2O_3	0,00	0,00	0,00	Cr_2O_3	0,01	0,12	0,00
FeO^*	23,01	22,24	21,52	FeO^*	16,72	20,16	16,64
MnO	0,05	0,08	0,07	MnO	0,30	0,44	0,30
MgO	8,14	8,86	9,12	MgO	8,89	7,19	8,54
CaO	0,06	0,10	0,05	CaO	11,13	11,08	11,33
Na_2O	0,14	0,09	0,11	Na_2O	2,45	2,65	2,29
K_2O	9,11	9,33	9,28	K_2O	1,42	1,55	1,51
Sum	94,32	94,96	94,83	Sum	97,25	98,39	96,54
Prepočet na 24 kyslikov							
Si	5,41	5,38	5,37	Si	6,10	6,26	6,16
Al^{IV}	2,50	2,62	2,63	Ti	0,63	0,50	0,60
Al^{VI}	0,33	0,01	0,00	Al	2,04	1,90	2,06
Ti	0,41	0,63	0,68	Cr	0,00	0,01	0,00
Fe	3,02	2,90	2,80	Fe^{3+}	0,00	0,00	0,00
Mn	0,01	0,01	0,01	Fe^{2+}	2,15	2,60	2,16
Mg	1,90	2,06	2,11	Mn	0,04	0,06	0,04
Ca	0,01	0,02	0,01	Mg	2,04	1,66	1,98
Na	0,04	0,03	0,03	Ca	1,84	1,84	1,89
K	1,82	1,85	1,84	Na	0,73	0,80	0,69
Al total	2,93	2,63	2,63	K	0,28	0,31	0,30
$Fe/Fe + Mg$	0,61	0,59	0,57				
FeO* ako celkové železo							

Tab. 2 Vybrané analýzy biotitov (bt) a amfibolov (amf) z lokality Martinské hole. Fe^{3+} je dopočítané pomocou nábojovej bilancie

Z felzických minerálov v študovaných horninách vystupujú plagioklasy a alkalické živce. Plagioklasy výrazne prevládajú nad alkalickými živcami. Plagioklasy majú vysokú bazicitu a odpovedajú labradoritom (An_{50}), (tab. 3, obr. 5). V študovaných horninách sa lokálne nachádzajú aj xenolity okolných granitoidných hornín, resp. živcov, ktoré sú silne resorbované. V prípade xenokrystov plagioklasov sa často zachovalo pôvodné zloženie len v centrálnych častiach (bazicita odpovedá pôvodným plagioklasom z

granitoidov An_{32}), (Broska et al., 1997) a okolie je zatláčané bázickejším plagioklasom. Okrajové časti odpovedajú chemickým zložením (An_{58-61}) plagioklasom z lamprofýrových hornín (obr. 6).



Obr. 3 Klasifikačný diagram klinopyroxénov upravený podľa Morimoto et al. (1988)



Obr. 4 Mikrofotografia lamprofýru, čísla analyzovaných amfibolov odpovedajú číslam v tab. 2, (odrazené elektróny), elektrónový mikroanalyzátor, lokalita: Martinské hole

číslo analýzy	plg1	plg2	plg3	plg4	plg5	kfs1	kfs2
SiO_2	53,50	60,64	60,82	54,28	54,15	65,90	65,56
TiO_2	0,00	0,00	0,00	0,00	0,00	0,00	0,00
Al_2O_3	28,89	24,38	24,39	28,10	28,46	18,69	18,22
Cr_2O_3	0,00	0,00	0,00	0,00	0,00	0,00	0,00
FeO^*	0,55	0,22	0,21	0,52	0,56	0,20	0,17
MnO	0,00	0,00	0,00	0,00	0,00	0,00	0,01
MgO	0,09	0,00	0,00	0,08	0,08	0,23	0,00
CaO	12,28	6,40	6,46	11,69	12,03	0,09	0,05
Na_2O	4,05	7,09	7,07	4,40	4,35	0,47	0,45
K_2O	0,41	0,85	0,88	0,49	0,43	16,20	16,40
Sum	99,76	99,58	99,84	99,56	100,05	102,12	101,03
Prepočet na 8 kyslikov							
Si	2,44	2,73	2,73	2,48	2,46	2,99	3,01
Al	1,55	1,29	1,29	1,51	1,52	1,00	0,98
Ca	0,60	0,31	0,31	0,57	0,59	0,00	0,00
Na	0,36	0,62	0,62	0,39	0,38	0,04	0,04
K	0,02	0,05	0,05	0,03	0,03	0,94	0,96
X(an)	0,61	0,32	0,32	0,58	0,59	0,01	0,00
X(ab)	0,37	0,63	0,63	0,39	0,38	0,04	0,04
X(or)	0,02	0,05	0,05	0,03	0,03	0,95	0,96
FeO* ako celkové železo							

Tab. 3 Vybrané analýzy plagioklasov (plg), a draselných živcov (kfs) z lokality: Martinské hole a Dubná skala

číslo analýzy	1pr	2py	3pr	4py	5xe	6xe	7xe	8xe	9lm	10lm	11lm	12lm	13lm
SiO ₂	46,33	49,96	48,29	50,04	47,03	47,29	47,04	47,06	49,18	47,96	48,70	49,29	50,77
TiO ₂	2,97	1,67	2,28	1,60	1,82	1,83	1,83	1,86	1,89	2,26	1,99	1,95	1,52
Al ₂ O ₃	6,41	2,81	4,44	2,84	8,34	8,40	8,53	8,62	4,02	4,73	3,73	4,19	2,98
Cr ₂ O ₃	0,29	0,01	0,00	0,00	0,02	0,01	0,04	0,03	0,04	0,14	0,04	0,07	0,08
FeO*	8,48	9,05	9,64	8,98	8,51	8,65	8,59	8,66	8,41	8,66	8,94	8,73	8,49
MnO	0,17	0,27	0,31	0,25	0,20	0,22	0,23	0,18	0,21	0,22	0,19	0,28	0,23
MgO	12,40	13,83	12,35	14,15	12,92	12,90	12,71	12,87	13,27	13,33	13,28	13,42	14,22
CaO	21,57	21,37	21,58	21,24	19,26	19,28	19,17	19,06	21,89	21,77	21,64	21,36	21,61
Na ₂ O	0,56	0,37	0,55	0,46	0,91	0,93	0,85	0,90	0,51	0,56	0,47	0,54	0,40
K ₂ O	0,03	0,02	0,03	0,03	0,04	0,01	0,03	0,02	0,02	0,04	0,02	0,03	0,03
Sum	99,26	99,37	99,49	99,61	99,05	99,51	99,02	99,26	99,45	99,67	99,00	99,85	100,33
Prepočet na 6 kyslíkov													
Si	1,74	1,88	1,82	1,87	1,75	1,76	1,76	1,84	1,79	1,84	1,84	1,84	1,88
Ti	0,08	0,05	0,06	0,04	0,05	0,05	0,05	0,05	0,05	0,06	0,06	0,05	0,04
Al	0,28	0,12	0,20	0,13	0,37	0,37	0,38	0,38	0,18	0,21	0,17	0,18	0,13
Al ^{IV}	0,03	0,00	0,02	0,00	0,12	0,12	0,13	0,13	0,02	0,00	0,00	0,02	0,01
Cr	0,01	0,00	0,00	0,00	0,00	0,00	0,00	0,00	0,00	0,00	0,00	0,00	0,00
Fe ³⁺	0,09	0,06	0,07	0,08	0,00	0,00	0,00	0,00	0,07	0,12	0,09	0,00	0,05
Fe ²⁺	0,18	0,23	0,23	0,20	0,27	0,27	0,27	0,19	0,15	0,20	0,27	0,21	
Mn	0,01	0,01	0,01	0,01	0,01	0,01	0,01	0,01	0,01	0,01	0,01	0,01	0,01
Mg	0,70	0,77	0,69	0,79	0,72	0,71	0,71	0,74	0,74	0,75	0,75	0,79	
Ca	0,87	0,86	0,87	0,85	0,77	0,77	0,76	0,88	0,87	0,87	0,85	0,86	
Na	0,04	0,03	0,04	0,03	0,07	0,07	0,06	0,06	0,04	0,04	0,03	0,04	0,03
K	0,00	0,00	0,00	0,00	0,00	0,00	0,00	0,00	0,00	0,00	0,00	0,00	0,00
Wo	47,47	44,83	46,63	44,32	43,90	43,83	44,02	43,60	46,66	46,24	45,94	45,60	45,00
En	37,96	40,36	37,11	41,06	40,96	40,81	40,59	40,94	39,35	39,40	39,24	39,85	41,20
Fs	14,57	14,81	16,26	14,62	15,14	15,35	15,39	15,46	13,99	14,36	14,82	14,55	13,80

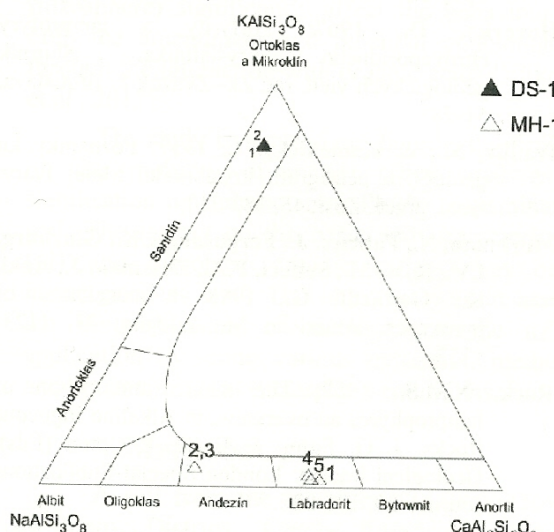
FeO* ako celkové železo

pr - prizmatický sektor, py - pyramidálny sektor, xe - xenokryst, lm - novotvorený lem

Tab. 1 Vybrané analýzy klinopyroxénov z lokality Dubná skala. Fe³⁺ je dopočítané pomocou nábojovej bilancie

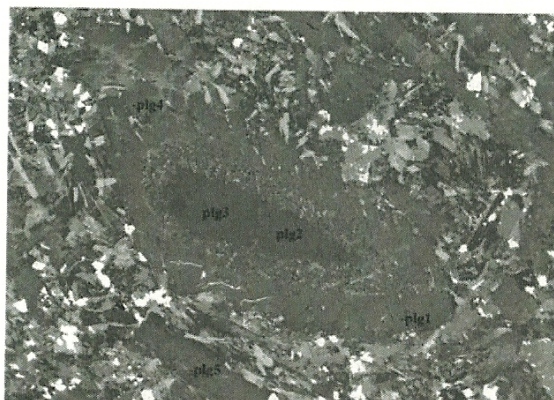
Analyzované alkalické živce (draselné) podľa Deer et al. (2001) patria k ortoklasu a mikroklínu (obr. 5).

(sulfidy), kedy bola v zvyškovej magme vysoká aktivita S.



Obr. 5 Klasifikačný diagram živcov, upravený podľa Deer et al. (2001)

V bázických žilných horninách v Malej Fatre, bola zistená nasledujúca asociácia opakných minerálnych fáz: ilmenit (resp. nešpecifikované Fe - Ti oxidy), rutil, pyrit, chalkopyrit, pyrotit. Asociácia sulfidických minerálov je mladšia ako asociácia oxidov. Sukcesia kryštalizácie opakných minerálov naznačuje vyššiu aktivitu O₂ vo zvyškových magmatických roztokoch na začiatku precipitácie opaknej fázy (oxidov) a jej markantné zníženie v závere kryštalizácie opaknej fázy –

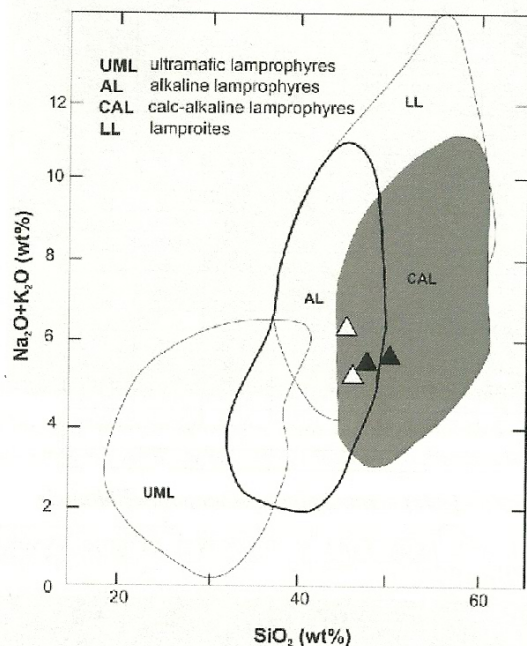


Obr. 6 Xenokryst okolných hornín (odrazené elektróny), elektrónový mikroanalyzátor, lokalita: Martinské hole

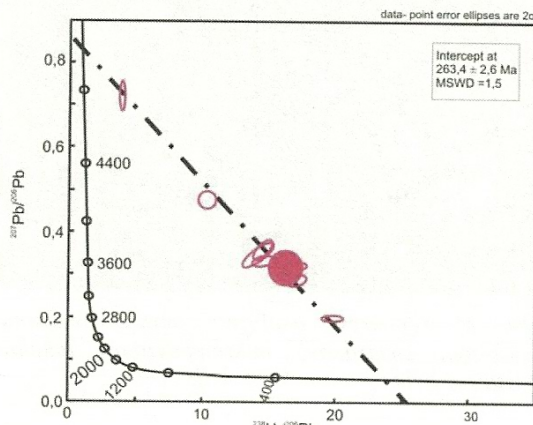
GEOCHÉMIA

Na základe chemických analýz zaraďujeme lamprofýry Malej Fatre podľa klasifikácie žilných hornín (Rock, 1987) ku alkalicko – vápenatým typom (obr. 7). Ich zaradenie dobre korešponduje aj s ich ďalšími geochemickými charakteristikami. Vek študovaných hornín neboli doteraz presne stanovené a predpokladané vekové zaradenie hornín vychádzalo z ich priestorového vystupovania. Dajky lamprofýrov prerážajú biotitické strednozrnné granodiority až tonality, ale neprenikajú cez okolné mezozoické komplexy. Vek okolných granitov bol stanovený Scherbakom et al. (1990) na 353 Ma. Všeobecne sa vek lamprofýrov

považoval za mladopaleozoický. Vek hornín sme zistili LA ICP MS analýzou apatitov (Trinity College, Dublin, Írsko) a je $263,4 \pm 2,6$ Ma (obr. 8), čo dobre korešponduje s ich geologickým vystupovaním.



Obr. 7 Klasifikačný diagram lamprofýrov upravený podľa Rocka (1987), analýzy z (Hovorka, 1967)



Obr. 8 LA ICP MS veky apatitov

Pre amfiboly (kersutit) a biotity je charakteristický vysoký obsah TiO₂. V žilných horninách sú často pozorované xenolity okolných granitových hornín, ktoré sú resorbované do rôzneho štadia. Vek hornín bol stanovený ICP MS analýzou apatitov na $263,4 \pm 2,6$ Ma.

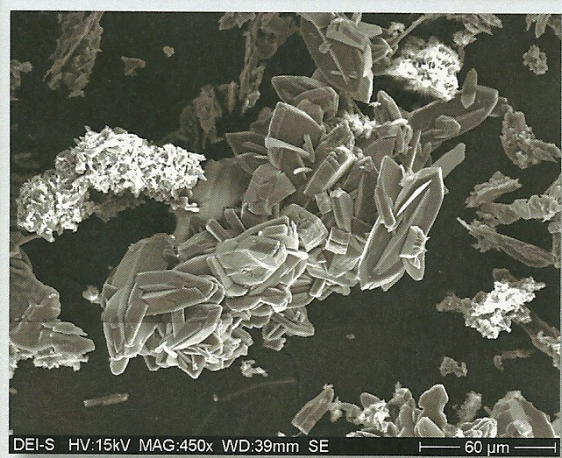
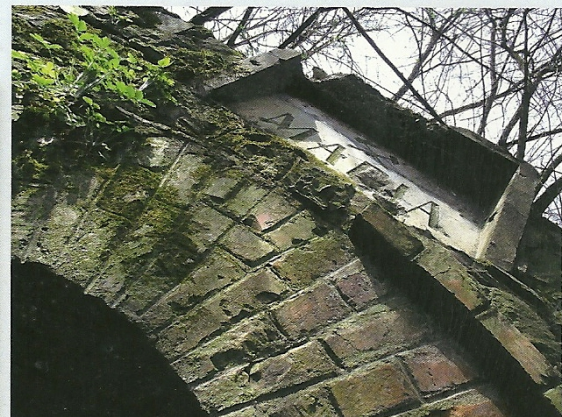
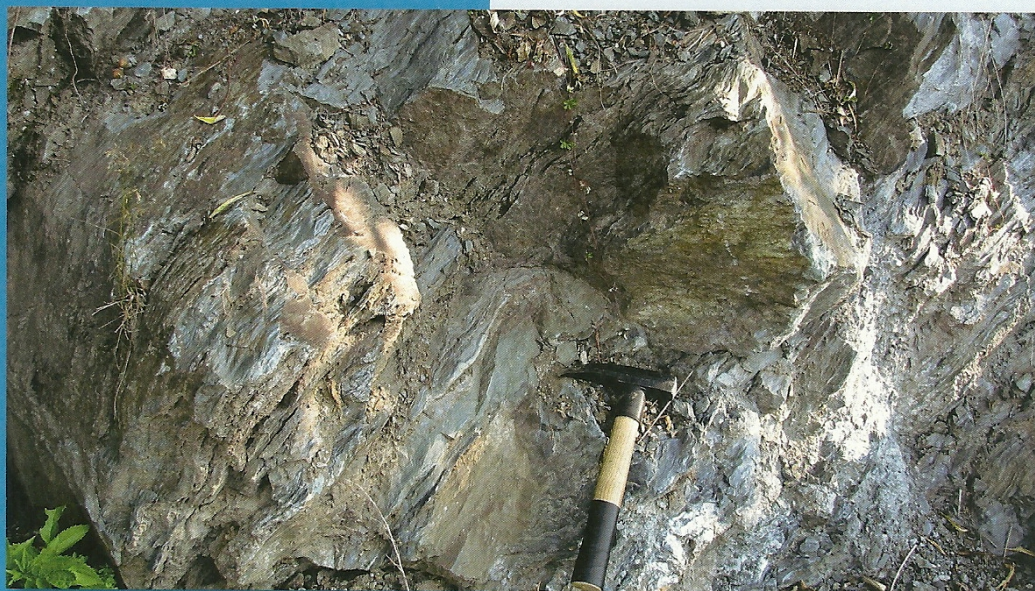
Podakovanie: Táto práca bola vypracovaná za finančnej podpory grantových úloh APVV-0081-10 a VEGA 1/0650/15.

POUŽITÁ LITERATÚRA

- Broska, I., Petrík, I., Benko, P., 1997: Petrology of the Malá Fatra granitoid rocks (Western Carpathians, Slovakia). Geologica Carpathica, 48, 1, Bratislava, 27-47.
- Deer, W. A., Howie, A., Zussman, J., 2001: Rock – forming minerals. Framework silicates: feldspar. Geological Soc., London, Vol. 4a, second edition, 1-972.
- Hawthorne, C.F., Oberti, R., Harlow, G.E., Maresch, V.W., Martin, F.R., Schumacher, C.J., Welch, D.M., 2012: Nomenclature of the amphibole supergroup. American Mineralogist. Vol. 97, 2031-2048.
- Hovorka, D., 1967: Porfyry a lamprofýry tatrveporidného kryštalinika, Sborník geologických vied, rad Zk- Zväzok 8. Bratislava, 51-78.
- Ivanov, M., & Kamenický, I., 1957: Poznámky ku geológii a petrografii kryštalinika Malej Fatry. Geol. práce. Zošit 45, 187-212.
- Morimoto, N., Fabries, J., Ferguson, A.K., Ginzburg, I.V., Ross, M., Seifert, F.A., Zussman, J., Aoki, K., Gottardi, G., 1988: Nomenclature of pyroxenes. American Mineralogist, 73, 1123-1133.
- Rock, N.M.S., 1987: The nature and origin of lamprophyres an overview, in Alkaline Ingneous Rocks. J. G. Fitton & B. G. J. Upton (Eds). Geological Society London Special Publications Journal 30, 191-226.
- Scherbak, N.P., Cambel, B., Bartnický, E.N., Stenyuk, L.M., 1990: U –Pb age of granitoid rock from Dubná Skala- Malá Fatra Mts. Geologica Carpathica, 41, 407-414.

ZÁVER

Žilné horniny v oblasti Malej Fatry, ktoré vystupujú v okolných granitoch sú silne alterované. Z primárnych minerálov sa zachovali klinopyroxény, amfiboly, biotity, plagioklasy a draselné živce. Klinopyroxény vystupujú ako xenokrysty a ako porfýrické výrastlice. Tieto dva typy klinopyroxénov sa líšia chemickým zložením.



ISBN 978-80-8174-015-2